

О ВЕЛИЧИНЕ СВЕРХСИЛЬНОГО МАГНИТНОГО ПОЛЯ, СОЗДАВАЕМОГО В РАЗРУШАЮЩИХСЯ ОДНОВИТКОВЫХ СОЛЕНОИДАХ

Г. А. Шеерсон

В сверхсильном магнитном поле амплитуда индукции становится значительно меньше своего расчетного значения из-за быстрого увеличения внутреннего радиуса соленоида в ходе разряда мощной конденсаторной батареи. В данной работе получена простая оценка амплитуды индукции B_m в предельном случае, когда эффективный внутренний радиус соленоида r заметно возрастает раньше, чем ток достигает своего амплитудного значения I_m . В таких режимах B_m значительно меньше своей расчетной величины [1–3].

Чтобы найти асимптотический характер зависимости $B_m = f(I_m, r)$, где r — время нарастания тока, следует проанализировать возможные механизмы роста эффективного внутреннего радиуса с учетом условий подобия. Наиболее важным процессом является течение металла в радиальном и осевом направлениях под действием магнитного давления. Этот процесс может быть описан в приближении идеальной несжимаемой жидкости, поскольку влияние прочности несущественно в мегагауссных полях, а эффекты, связанные со сжимаемостью материала и образованием ударной волны, не играют заметной роли в коротких соленоидах, где $\ell/c < t_m$ (ℓ — длина соленоида, c — скорость звука, t_m — время нарастания индукции до максимума). Двумя другими процессами являются диффузия поля в проводник [4, 5] и электрический взрыв скин-слоя [3, 4]. Наиболее вероятный механизм электрического взрыва в коротких соленоидах — выброс в осевом направлении металла, нагретого выше точки плавления. При этом, как показывают расчеты, толщина слоя расплавленного металла близка к толщине скин-слоя, если $B^2/2\mu_0 \gg Q_s$ (C_s — теплота плавления). Учитывая сказанное, приходим к следующей функциональной зависимости для B_m :

$$B_m = f(r_o, \ell_o, I_m, r, y, \rho_o, \beta, \mu_o), \quad (1)$$

где ρ_o — удельное сопротивление при начальных условиях, β — тепловой коэффициент сопротивления [5], r_o и ℓ_o — начальные значения внутреннего радиуса и, соответственно, длины соленоида, y — плотность материала, μ_o — магнитная постоянная. Далее можно исключить четыре величины с независимыми размерностями $[r_o, y, \mu_o, (di/dt)_o = \pi I_m/2r]$:

$$B_m = \mu_o^{3/4} \gamma^{1/4} (di/dt)_o^{1/2} \phi(q_1, q_2, q_3, \eta), \quad (2)$$

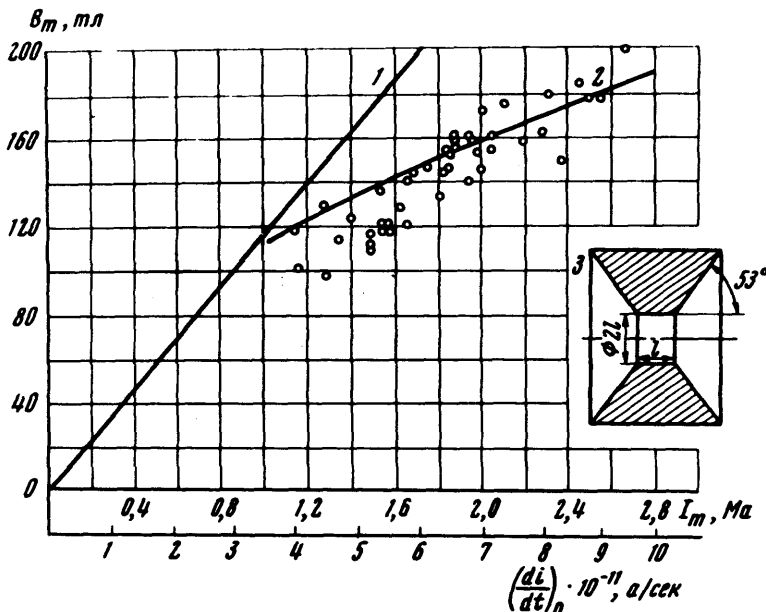
где $q_1 = (r^{3/4}/r_o)(di/dt)_o^{1/2}(\rho_o \beta)^{1/4}$; $q_2 = (\mu_o/\gamma)^{1/4}(r/r_o)(di/dt)_o^{1/2}$;
 $q_3 = \rho_o r / \mu_o r_o^2$; $\eta = \ell_o / r_o$; $(di/dt)_o$ — начальная скорость нарастания тока.

Параметр q_3 связан с диффузией поля в холодный металл и не играет роли в сильных полях.

Был выполнен теоретический анализ для каждого из трех механизмов роста эффективного радиуса в пределе больших $(di/dt)_o$. При чисто гидродинамическом течении несжимаемой жидкости с идеальной проводимостью ($q_1 = 0$) и $q_2 \gg 1$ имеем $\phi = C_1$, при диффузии поля без смещения границы поле-проводник ($q_2 = 0$) и $q_1 \gg 1$ $\phi = C_2 q_1 / q_2 = C_2 (\mu_o r / \rho_o \beta \gamma)^{1/4}$; при выбросе и условии $q_1^{2/3} q_2^{1/3} \gg 1$ $\phi = C_3 (\mu_o r / \rho_o \beta \gamma)^{1/6}$, где числа C_1, C_2, C_3 зависят лишь от геометрического параметра η . Иначе говоря, при очень больших $(di/dt)_o$ величина B_m согласно каждой из трех моделей растет пропорционально $(di/dt)_o^{1/2}$, слабо зависит от r , ρ_o , γ и не зависит от r_o . Этого же следует ожидать и при совместном действии всех трех механизмов:

$$B_m \approx C(\eta) \mu_o^{3/4} \gamma^{1/4} (di/dt)_o^{1/2}, \quad (3)$$

где C не должно сильно меняться при переходе, например, от меди к стали и изменении r в пределах микросекундного диапазона. Для соленоидов данной формы из данного материала в пределе сильных полей $B_m \approx A(di/dt)_o^{1/2}$, где $A = \text{const}$.



Амплитуда индукции в медных соленоидах: \circ — экспериментальные точки, 1 — модельные измерения;
 $2 - B_m = 0,53 \gamma^{1/4} \mu_o^{3/4} (di/dt)_o^{1/2} \cdot 3$ — разрез соленоида

На рисунке приведены результаты измерений амплитуды магнитного поля в соленоидах из меди с начальными размерами отверстия $r_o = 1,7 \text{ мм}$, $\ell_o = 3/2 r_o$. При выбранной форме соленоида (рисунок) индукция и ток связаны соотноше-

нием $B = b t / r$, где $b = \text{const}$. Это позволило найти скорость изменения радиуса путем совместной обработки осциллографм тока и индукции [3]. Величина $dr/dt = f(t_m)$ меняется в исследованном диапазоне B_m (до 200 мл) в пределах $400 + 600 \text{ м/сек}$. Эксперименты выполнены при фиксированном времени нарастания тока $t = 4,5 \pm 0,2 \text{ мксек}$. Сравнение с кривыми, построенными по формуле (3) (для меди взято $C = 0,53$), показывает, что зависимость $B_m = f[(di/dt)_o]$ стремится к асимптотическому закону (3) и лишь при уменьшении B_m приближается к линейной зависимости. Аналогичный результат дает исследование стальных соленоидов, при этом $C = 0,48$. Хотя в работах [1, 3] геометрия соленоида и время нарастания отличались от указанных здесь, тем не менее коэффициент C по данным [3] составляет 0,64, по данным эксперимента НЭ работы [1] $C = 0,52$. Можно считать поэтому, что формула (3) применима для грубой оценки поля при различной геометрии соленоидов, если принять $C = 0,5 + 0,6$. В опытах, описанных в недавно опубликованной работе [2] поле в медных соленоидах значительно ниже расчетного, поэтому применима формула (3). Она дает $E_m = 170 + 200 \text{ мл}$ [при $(di/dt)_o = 8,3 \cdot 10^{11} \text{ а/сек}$] измеренное значение $B_m = 200 \text{ мл}$.

Автору приятно выразить признательность М.И.Корнфельду за полезное обсуждение.

Поступила в редакцию
5 августа 1970 г.

После переработки
12 октября 1970 г.

Литература

- [1] I.W.Shearer. J.Appl.Phys., 40, 4490, 1969.
 - [2] А.М.Андронов, В.Ф.Демичев, Г.А.Елисеев, П.А.Левит. Письма в ЖЭТФ, 11, 582, 1970.
 - [3] В.П.Гордиенко, Г.А.Шнеерсон. ЖТФ, 34, 376, 1964; ЖТФ, 35, 1084, 1965.
 - [4] A.R.Bryant. Proc. Of the Megagaussconference, p.183, 1966.
 - [5] Г.А.Шнеерсон. ЖТФ, 37, 512, 1967.
-